

# ГИГАНТСКИЙ ФОТОГАЛЬВАНОПЬЕЗОМАГНИТНЫЙ ЭФФЕКТ В ГЕРМАНИИ В УСЛОВИЯХ МЕТАЛЛИЗАЦИИ ЭКСИТОНОВ

*И.В.Кукушкин, В.Д.Кулаковский, В.Б.Тимофеев*

В кристаллах германия в скрещенных магнитном поле и поле неоднородной деформации при 2К обнаружен резкий скачок фототока при больших плотностях возбуждения, связанный с переходом диэлектрик – металл в системе дрейфующих экситонов большой плотности. Переход сопровождается пороговым появлением новой линии в спектре, отвечающей рекомбинационному излучению  $e - h$  плазмы с плотностью  $7 \cdot 10^{15} \text{ см}^{-3}$  ( $r_s \approx 2$ ).

Гальваномагнитные эффекты в полупроводниках основаны на том, что носители, движущиеся перпендикулярно магнитному полю  $H$ , под действием силы Лоренца отклоняются от первоначального направления своего движения. Это отклонение вызывает появление поперечного напряжения. Движение носителей перпендикулярное  $H$  может быть вызвано различными физическими причинами: электрическим полем (эффект Холла), градиентами температуры (эффект Нернста) или концентрации носителей (фотоэлектромагнитный эффект Кикоина – Носкова). Мы обратили внимание на тот факт, что такой причиной может быть также градиент деформационного поля. Величины поперечного напряжения  $V_{\perp}$  и тока короткого замыкания  $j_s$  при этом могут быть значительно больше, чем в перечисленных выше эффектах. Так, в этом случае электронный и дырочный вклады в  $V_{\perp}$  и  $j_s$  складываются, а не вычитаются, как это происходит в эффекте Холла, а средняя скорость движения носителей перпендикулярно магнитному полю, регулируемая величиной неоднородного сжатия кристалла, может значительно превосходить соответствующие величины в эффектах Нернста и Кикоина – Носкова.

Не останавливаясь подробно на особенностях фотогальванопьезомагнитного (ФГПМ) эффекта, изучению которого будет посвящена отдельная статья, подчеркнем, что он оказался очень эффективным методом для исследования проблемы перехода диэлектрик – металл в системе экситонов большой плотности. Идея очень проста – до тех пор пока электрон и дырка связаны в экситон, они движутся в поле неоднородной деформации, практически не отклоняясь в магнитном поле от направления своего движения и не дают вклада в ток короткого замыкания в ФГПМ эффекте.

Согласно гипотезе Мотта<sup>1</sup>, при достижении некоторой критической концентрации экситонов,  $n_c$ , вследствие экранирования кулоновского взаимодействия должно произойти скачком ионизационное разрушение экситонов, которое должно сопровождаться скачкообразным возрастанием фотопроводимости кристалла. Ранее сообщалось о резком возрастании фотопроводимости при 2К в недеформированных чистых кристаллах Ge при  $H = 0^2$  и в легированных до концентраций примесей  $10^{15} \text{ см}^{-3}$  кристаллах Ge при  $H \lesssim 5T^3$ . Однако этот скачок был обусловлен не ионизационным разрушением экситонов, а перекомпоновкой проводимостью по металлическим электронно-дырочным каплям (ЭДК). При по-

высшении температуры выше критической для конденсации в ЭДК, экситонно-плазменный переход размывается из-за термоионизации экситонов.

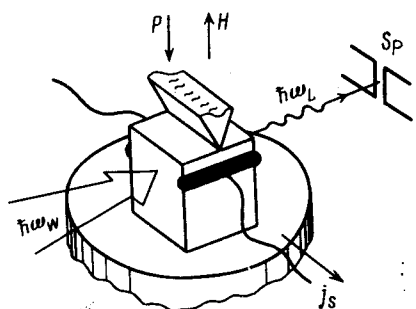


Рис. 1. Схема эксперимента

Преимуществами ФГПМ эффекта для изучения перехода Мотта в Ge, скжатом вдоль оси <100>, являются, во-первых, сильное уменьшение критической температуры ЭДК до 2–3 К (из-за снятия вырождения зон<sup>4,5</sup> и, дополнительно, из-за магнито-штарк-эффекта для движущихся в магнитном поле ЭДК) и, во-вторых, резкое уменьшение доли неравновесных свободных носителей в потоке экситонов при удалении от возбуждаемой поверхности (из-за малой скорости дрейфа электронов и дырок, закручиваемых магнитным полем).

В работе исследовались кристаллы Ge с концентрацией мелких примесей  $10^{12} - 10^{14} \text{ см}^{-3}$ . Образцы вырезались в виде прямоугольных параллелепипедов размером  $3 \times 3 \times 10 \text{ мм}^3$  и перед постановкой в криостат протравливались в полирующим травителе СР-4а. Неоднородная деформация осуществлялась трехгранной призмой (см. рис. 1) вдоль направления, близкого к <100>. Потенциальная яма при этом имела аксиальную симметрию и ее дно находилось в глубине кристалла на расстоянии 1,5 мм от возбуждаемой поверхности. Контакты к образцу (рис. 1) подпаивались индием и пробивались высокочастотным разрядом.

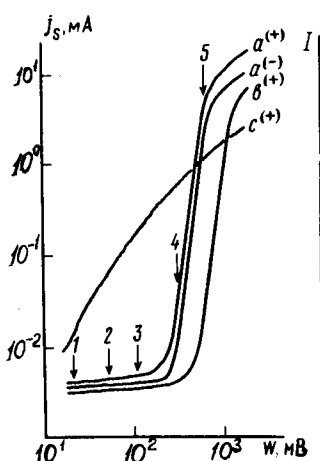


Рис.2

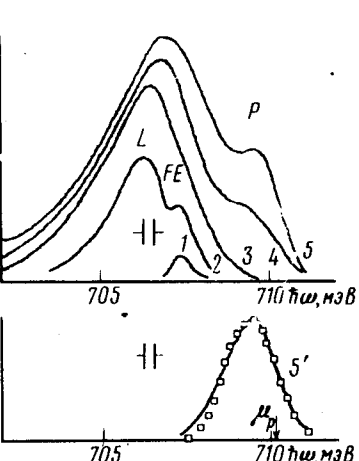


Рис.3.

Рис. 2. Зависимость тока короткого замыкания  $j_s$  (в мА) от мощности возбуждающего света  $W$  (в мВт) в ФГПМ эффекте при 2К (a, b) и 20К (c) в магнитном поле  $H = 0,7\text{T}$  (a, c) и  $4\text{T}$  (b). Кривые  $a^+$  и  $a^-$  отвечают противоположным направлениям магнитного поля

Рис. 3. LA-спектры излучения Ge, скжатого вдоль оси <1.1.16>, в магнитном поле  $H = 0,7\text{T}$  при 2К и различных плотностях возбуждения, указанных стрелками на рис. 2. Спектр 5' записан в точке 5 при 15% модуляции интенсивности возбуждающего света

На рис. 2 представлены характерные зависимости фототока короткого замыкания от мощности возбуждения  $W$  в двойном логарифмическом масштабе. При высоких температурах, когда экситоны сильно ионизуются термически, ток короткого замыкания в ФГПМ эффекте плавно возрастает с ростом плотности возбуждения (кривая  $c'$ ,  $T = 20\text{K}$ ). При  $T < 5\text{K}$  (кривые a, b) в зависимостях  $j_s(W)$  наблюдается резкий скачок фототока при некоторой

критической плотности возбуждения  $W_c$ , достигающей при  $T = 2\text{K}$  трех порядков. Как и следовало ожидать, при обращении магнитного поля  $j_s$  менял знак. Различие в зависимостях  $j_s(W)$  при противоположных направлениях поля (кривые  $a^+$  и  $a^-$ ) связано с неомичностью контактов и, как видно из рис. 2, не является существенным. С ростом магнитного поля порог сдвигается в сторону больших плотностей возбуждения (рис. 2).

Одновременно с измерением фототока были исследованы спектры фотолюминесценции при  $2\text{K}$  (рис. 3). При самых малых плотностях возбуждения (спектр 1 на рис. 3 соответствует точке 1 на рис. 2 и т. д.) в спектре наблюдается излучение экситонов, находящихся в потенциальной яме, глубина которой в представленном на рис. 3 случае составляла 6 мэВ. При увеличении  $W$  плотность экситонов в потенциальной яме возрастает, и они образуют на дне ямы  $e - h$  жидкость (спектр 2, линия  $L$ ). При дальнейшем увеличении плотности возбуждения, в спектре излучения одновременно со скачком фототока пороговым образом возникает новая линия  $P$  (спектры 4 и 5), которую особенно хорошо удается выделить в спектрах, записанных при 15% модуляции возбуждающего излучения (дифференциальный спектр  $5'$ ).

Наблюдаемое экспериментально пороговое возрастание фототока и появление новой линии излучения в спектре естественно связать с переходом диэлектрик — металл в дрейфующем экситонном газе при достижении критической плотности. Плотность возникающей  $e - h$  плазмы можно определить из анализа формы линии  $P$  с помощью выражения<sup>4</sup>

$$I(h\nu) = \int_0^{h\nu} D_e(E)f_e(E)D_h(h\nu - E)f_h(h\nu - E)dE,$$

где  $D_{e(h)}$  и  $f_{e(h)}$  — плотность состояний и функция распределения электронов (дырок). Из такой аппроксимации (рис. 3) следует, что плотность  $e - h$  плазмы составляет  $(7 \pm 0,5) \times 10^{15} \text{ см}^{-3}$ , или  $r_s = (3/4\pi n a_{ex}^3)^{1/3} \approx 2$ . Эта величина хорошо согласуется с полученными ранее<sup>5</sup> оценками  $r_s^c \approx 2,5 \div 2$  на основании анализа спектров излучения однородно сжатых кристаллов Ge. Сдвиг порога в сторону больших плотностей возбуждения с ростом магнитного поля связан со сжатием поперечного размера волновой функции экситона (при  $H = 4\text{T}$  магнитная длина  $a_H = 0,8a_{ex}$ ). Подчеркнем, что химический потенциал  $e - h$  плазмы  $\mu$ , определенный по фиолетовому краю линии  $P$ , существенно выше химического потенциала  $e - h$  системы на дне потенциальной ямы. Следовательно, регистрируемая нами металлизация экситонов происходит на заметном расстоянии от дна потенциальной ямы. Тем не менее, судя по ширине линии излучения возникающей  $e - h$  плазмы, она пространственно локализована в малой области  $\Delta x$ , что не является удивительным, ввиду резкого уменьшения скорости дрейфа  $e - h$  пар после разрушения экситонных состояний.

Таким образом, с помощью исследования ФГПМ эффекта впервые удалось наблюдать резкое изменение фотоэлектрических характеристик в условиях металлизации экситонов.

В заключение авторы выражают благодарность В.Н.Звереву за помощь в изготовлении контактов и дискуссии, а также В.Ф.Гантмахеру, Э.И.Рашба, и В.М.Эдельштейну за обсуждение результатов.

#### Литература

1. Mott N.F. Adv. Phys., 1967, 16, 49; Metal–Insulator transitions, Barnes and Noble, N.-Y. 1974.
2. Ачинин В.М., Рогачев А.Н. Письма в ЖЭТФ, 1968, 7, 464.
3. Гантмахер В.Ф., Зверев В.Н. ЖЭТФ, 1977, 73, 2337.
4. Hensel J.C., Phillips T.G., Thomas G.A. Sol. State Physics, 1977, 32, 87.
5. Кукушкин И.В., Кулаковский В.Д. ЖЭТФ, 1982, 82, 800.